

II-4

感潮河川における懸濁物質の輸送現象のシミュレーション

九州大学工学部 学生員 ○野正 博之
 九州大学工学部 正員 粟谷 陽一
 九州大学工学部 正員 楠田 哲也
 九州大学工学部 正員 古賀 憲一

1. まえがき 河川感潮部の水質は、地域住民の生活環境や水資源としての利用等に大きな影響を及ぼしており、また沈降性SSは、航路に影響を及ぼしている。一般に我が国の河川の水質現象は、流下時間が短いので、BODとDOのことで取り扱われることが多い。一方海域では、滞留時間が長いことから植物プランクトンの一次生産が物質変換の主要なものとして取り扱われることが多い。(しかし、河川感潮部での取扱い法は水質現象が各河川感潮部ごとに大きく異なり、しかもその現象が複雑なこととあいまって、未だ確立されていない。本研究は、六角川を対象として、河川感潮部の水質現象を明らかにすることを目的としている。水質調査の結果によれば六角川の水質は、SSに大きく支配されていることが明らかにされているので、本報では、このSSの挙動のシミュレーションを行ない、河槽内に存在するSS塊の輸送現象について、若干の知見を得たので報告する。

2. 基本式 河川感潮部のSS塊の輸送現象は、彙混合の不定流モデルとして取り扱い、その基本式は、次に示す通りである。

$$\begin{aligned} & \frac{1}{g} \frac{\partial v}{\partial t} + \frac{v}{g} \frac{\partial v}{\partial x} + \frac{\partial h}{\partial x} + \frac{n^2 v^2}{R^{3/2}} = 0 \quad \text{--- (流れの運動方程式)} \\ & \frac{\partial A}{\partial t} + \frac{\partial Q}{\partial x} = g \quad \text{--- (流れの連続式)} \\ & \frac{\partial A}{\partial t} + \frac{\partial}{\partial x}(AVC) = \frac{\partial}{\partial x}(AD_L \frac{\partial C}{\partial x}) + E \frac{A}{R} + GB + g' \quad \text{--- (浮遊物質の連続式)} \\ & U_k^* = \frac{g n^2 v^2}{R^{3/2}} \quad \text{--- (摩擦速度の式)} \\ & U_k^* \geq U_{ke} \text{ の時; } E = \alpha(U_k^*/U_{ke} - 1)^m \quad \text{--- (巻き上げフラックスの式)} \\ & U_k^* \leq U_{kd} \text{ の時; } G = -WC \quad \text{--- (沈降フラックスの式)} \end{aligned}$$

但し H ; 水位(T.P.m), A ; 流水断面(m^2), R ; 経深(m), B ; 川幅(m)
 Q ; 流量(m^3/s), v ; 流速(m/s), n ; 粗度係数($s/m^1/2$), C ; SS濃度(g/l)
 E ; 巷き上げフラックス($Kg/m^2 \cdot s$), G ; 沈降フラックス($Kg/m^2 \cdot s$)
 D_L ; 分散係数(m^2/s), U_k ; 摩擦速度(m/s), U_{ke} ; 巷き上げ限界摩擦速度(m/s)
 U_{kd} ; 全沈降限界摩擦速度(m/s), α ; 定数, m ; 定数, W ; 沈降速度(m/s)
 g ; 単位長さ当たりの横流入量($m^3/m \cdot s$), g' ; 重力加速度(m/s^2), X ; 距離(m)
 t ; 時間(sec), β ; 単位長さ当たりの流入フラックス($Kg/m \cdot s$)

3. 計算方法及び条件 数値計算するに当たってはLEAP-FROG法¹⁾を用いた。

潮汐流によるSSの輸送現象の計算は、風上差分法を用いた。図-1, 図-2にそれぞれのスキームを示す。初期条件として、SSは現地観測資料をもとに、補間法により求め、水位は高潮位を全川レベルで与えた。また流量は、各断面で零とした。境界条件は、 29.6 km で $Q = 1(t/s)$, $C = 0(g/l)$, 5.0 km での実測値の断面平均濃度及び水位である。また各区間にごとに、初期堆積量(巷き上げ時に上層水へ輸送されるべき量)を与えて、やむ試行錯誤により求めた。本例では、 17.6 km より上流は0とし、 17.6 km 以下は河口に向て、直線的に増加させた。また、粗度係数については、 $5.0 \text{ km} \sim 11.0 \text{ km}$, $11.0 \text{ km} \sim 17.0 \text{ km}$, $17.0 \text{ km} \sim 20.6 \text{ km}$, $20.6 \text{ km} \sim 24.2 \text{ km}$, $24.2 \text{ km} \sim 29.0 \text{ km}$ の5区間に分けて、実測値と比較より定めた。巷き上げフラックス、沈降フラックスを左右する係数や、 U_{ke} , U_{kd} については、数値計算結果と実測値との比較を行いつつ、定めた。尚、 D_L , g , g' については、それぞれ零として計算した。

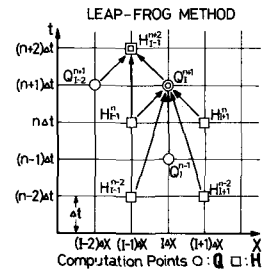


図-1

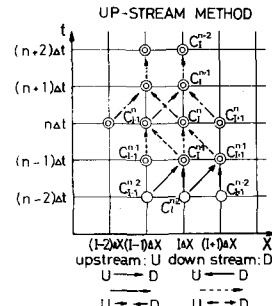


図-2

4. 結果及び考察 図-3に計算で求めた周期的に定常となるときの水位の時間変化を示す。この図から干潮時においては、上流で固有流量に基づく定常な流れが認められ、河口に行くに従い、潮流流の影響がよく現れている。実測値との比較を示していくが、干満時の潮位等については、実測値ともよく一致している。また粗度係数は、前述のように、実測値との比較より、5.0kmから29.0kmに向かって、0.023, 0.024, 0.025, 0.026, 0.027とした。図-4に U_e の時間変化を示す。流れの反転時ににおける U_e の減少、及び反転時間のずれが5.0kmと29.2kmで約3時間ある。 U_{ek} 最大値は、0.03~0.05となり、図-5に20.6km, 11.0km地点におけるSS濃度の時間変化について、実測値と計算値との比較例を示す。計算するに当つて用いた巻き上げフラックス、沈降フラックスを規定するパラメータは、全区間にについて、 $U_{ke}=0.03(\text{m/s})$, $U_{kd}=0.005(\text{m/s})$, $\alpha=0.003(\text{kg/m}^2\text{s})$, $w=0.0003(\text{m/s})$ とした。 U_{ke} は、実験値と比べてやや大きいようである。この図から計算結果は、概ね実測値を再現しているようである。河口付近において、双方の結果にややすれ認められ、計算値の巻き上げ及び沈降量がやや不足しているようである。このことは、巻き上げ及び沈降を規定するパラメータを全区間にについて、一定値を与えたためと思われる。即ち、巻き上げられた粒子は上流にいくほど小さくなること（沈降速度が小さい）、塙水中における浮泥け凝集性を有し、沈降速度が大きくなるなどの現象が生じているものと思われる。いずれにしても、浮泥粒子の粒度分布及び塙分濃度等を考慮した上で、パラメータを決定する必要があると思われるが、今後の課題としている。尚計算するに当つての初期堆積量の不足は、あまり認められなかつたので、本例の場合、直線的に増加させたことは、計算結果に影響を及ぼしていない。むしろ、上流付近における、沈降、巻き上げによる濃度の増加を防ぐために、初期堆積量を零としなければならなかつたことに注意すべきであろう。このことは、現地観測時における、底泥の採取量からも乎当な結果と言える。図-6に浮泥濃度の時間、空間的変化の計算値を示す。初期条件は、実測値及びその補間値である。この図から17km~20km附近における、高濃度SS塊が水位変動に伴つて、巻き上げ、沈降を繰り返しつつ、移動していることがよくわかる。ただこの図からも1周期終了（た時点での計算値と、初期値が完全には、一致しないようである。前述したような、巻き上げ、沈降の算定式に、やや改良の余地があるようである。対象とした六角川の水質は、SS濃度と強い相関があるため、BOD, COD等についても、今後の検討課題としている。

参考文献

1. 水理公式集 P180~188

筑後川下流部施設整備計画調査報告書 九地建

筑後川工事事務所 昭和58年3月

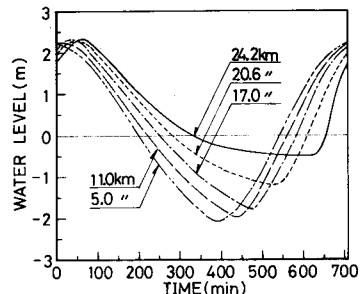


図-3

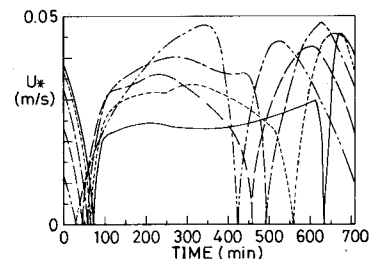


図-4(記号は図-3に準ずる)

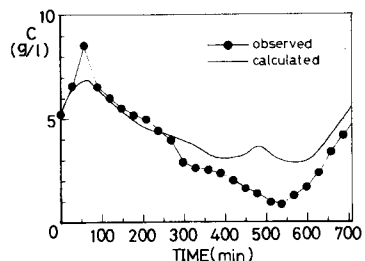


図-5-I (20.6 km)

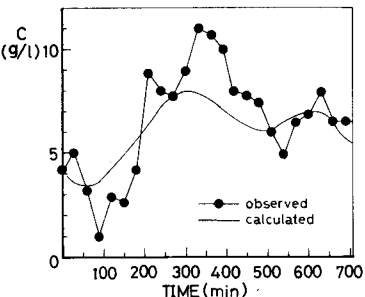


図-5-II (11.0 km)

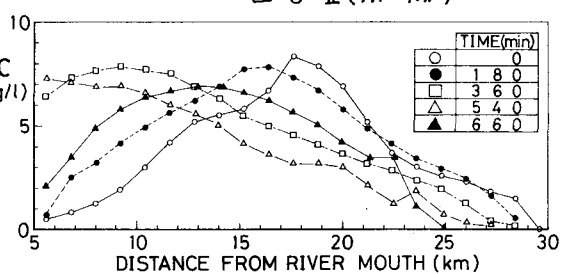


図-6